



で、はり側面に付着ひびわれ、はり上下面に付着割裂ひびわれが発生し、 $4\delta_y - 1$  cycle で最大耐力を示すと同時に、はり材端にコンクリート圧壊ひびわれが発生した。これ以後耐力は徐々に低下し、 $4\delta_y - 30$  cycle の繰返しでは、 $\delta_y$ 、 $2\delta_y$ 変形制御時と異り、やゝ一定耐力に安定しなかつたが、荷重低下は降伏荷重計 $P_y$ の0.9倍程度にとどまった。(図-6 参照) U,UHは $6\delta_y - 1$  cycle での耐力の復元性は良いが、5 cycle までに急激に材端近傍のコンクリートが剥落し、主筋も座屈したものと推定される。

最終回 $8\delta_y$ 変形で帯筋端フック部分の切断(UH)や場所打コンクリート部に定着した帶筋が抜け出して破壊した。但しUVだけは $4\delta_y - 20$  cycle 以後材端カブリの剥落がU, UHに比較して顕著で、既にこの時点から主筋の局部的変形が巨視的に観察できた。

**4.2. 強度及び剛性** 表-2に示すように、各試験体とも凡計算値に一致しているが、降伏点剛性の計算値に対する比率は0.87～0.9と若干小さい。しかし3体間の顕著な相違はみられない。計算式は、(1) 計 $P_{ec}$ , 計 $P_{esc}$  及び黒正式による計 $P_y$  計 $P_{max}$ は前報を参照。(2) 計 $\tau_c = 0.0298 f_{c} (500 + \delta_e)$  (短期付着応力度  $\tau_{ea} = 18 \times 1.5 = 27\%$ , (3) 計 $P_y = 0.9 A_t \delta_y d^{\frac{1}{2}}$ ,  $h$  : はり材長,  $d$  : 有効高さ,  $A_t$  : 引張鉄筋断面積 (2段筋を含む)

**4.3 PC部材とCC部材の一体性** 図-7で界面の帯筋ゲージNo.4の歪度についてみると、 $4\delta_y - 1$  cycle まで両部材は一体となって挙動したと推定されるが、2 cycle から歪度が急増していることから、この時点で両部材界面に剥離ひびわれが発生したものと推定される。この現象は3体とも同じである。しかしこの原因により、 $4\delta_y - 30$  cycle の繰返しによる剛性低下が $2\delta_y$ 変形時より大きいと判定しにくく、 $6\delta_y - 1$  cycleまでの復元性は良好である。又破壊時まで両部材は一体性を發揮し、界面のひびわれが直接破壊の原因になっていない。しかし両部材間のひびわれ性状が異っていることから、界面剥離が生じていることが推定される。

又PC部材内の吊筋効果は十分であったのに対し、CC部材内に定着させた帯筋アンカーの処理法が部材の一体性、韌性に与える影響は大きいと推察できる。

**5 むすび** 本工法による曲げ降伏型はり部材で、 $\delta/d = 3$ 程度なら、はり材端最外縁主筋が降伏するまでの強度、剛性については、一体打の計算値とよく一致し、且つ $4\delta_y$ 変形時までは良好な復元力特性を示した。しかし $4\delta_y - 30$  cycle の繰返し載荷で耐力低下は $P_{y,cal}/P_y = 0.9 \sim 1.0$ と顕著な低下はみられないが、安定状態にはならなかつた。又 $4\delta_y - 2$  cycle で両部材界面に剥離ひびわれが生じたと思われるが、 $6\delta_y - 1$  cycle でも顕著な耐力低下はなく、界面剥離が直接耐力低下やエネルギー吸収能を劣化させ、直接破壊させたとはいえない。本工法のうち、リブなし型でも構造物の挙動について、設計時の所要の強度、剛性を満足し、最終破壊までかなり安定した性状を示すものと推定できる。

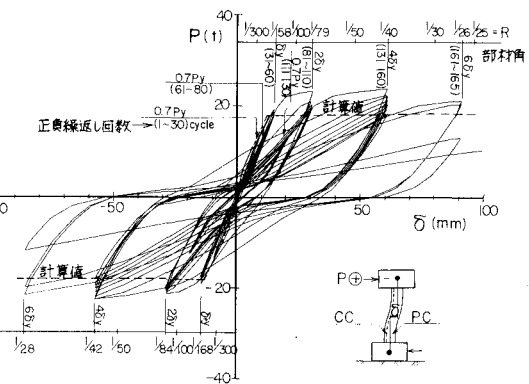


図-4 P - δ 曲線 (試験体: U)

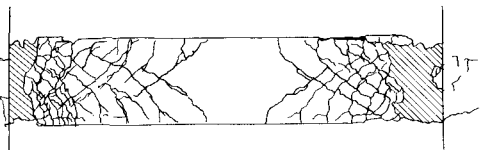


図-5 最終破壊状況の一例

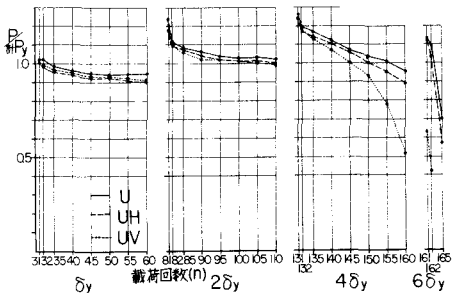


図-6 繰返しによる耐力低下 (正加力)

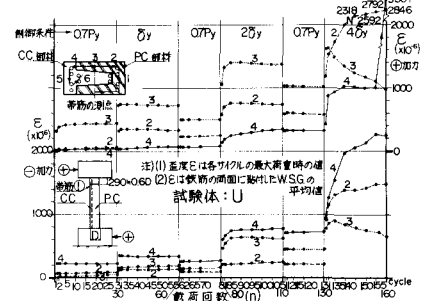


図-7 帯筋の載荷回数と歪度の関係